

УДК 543.429.3+612.129.1+519.257

<sup>1</sup>Стець М.В., н.с.; <sup>1</sup>Поп О.М., асп.;  
<sup>2</sup>Сіксаї Л.Т., д.м.н., проф.; <sup>2</sup>Сірчак Є.С., к.м.н., доц.

## ГАММА-СПЕКТРОМЕТРІЯ КРОВІ ЛЮДИНИ В ПІСЛЯЧОРНОБИЛЬСЬКИЙ ПЕРІОД. ВИЗНАЧЕННЯ ЧАСУ

<sup>1</sup>Інститут електронної фізики НАН України, 88017, м. Ужгород, вул.  
Університетська, 21, e-mail: oksana\_por@i.ua

<sup>2</sup>ДВНЗ «Ужгородський національний університет», 88000, м. Ужгород, вул. Підгірна, 46

### Вступ

Не дивлячись на віддаленість подій 25-26 квітня 1986 року, коли трапилась аварія на ЧАЕС, інтерес до всього комплексу проблем, які ці події створили, не зникає. Стало зрозумілим, що кількість жертв аварії з часом більше не зростає, а спадає. Рівень радіоактивного забруднення довкілля, в певній мірі, суттєво понизився та стабілізувався. Зараз (на сьогодні) він повинен визначатись, і визначається довгоживучими нуклідами, на рівні активностей, що вписуються в флюктуацію фону. Цей висновок є бажаним і очікуваним, але не очевидним.

У Відділі фотоядерних процесів Інституту електронної фізики НАН України були виконані подальші виміри природної гамма-активності зразків крові ліквідаторів аварії на Чорнобильській АЕС 1986р. Ці виміри є спробою отримати кількісну оцінку змін у нуклідному складі зразків.

### 2. Експериментальна частина

**2.1. Підготовка зразків.** Був здійснений відбір зразків крові ліквідаторів – 16 чоловік (зразки s1 – s16). Маса зразків – від 15г до 23г. Ці зразки після переупаковки у вимірвальні полістиролові стакани герметизувались та вистоювались не менше двох тижнів для відновлення радіоактивної рівноваги між газом радоном <sup>222</sup>Rn та його дочірніми радіонуклідами <sup>214</sup>Pb, <sup>214</sup>Bi.

**2.2. Гамма-спектрометрія.** Виміри виконано на гамма-спектрометричному комплексі, що складається з напівпровідникового Ge(Li) – детектора гамма-квантів ДГДК 100В, електронного та

програмного забезпечення SBS-40. В якості стандарту використані зразки атестованого джерела ОІСН на основі нукліда Eu152. Тривалість одного виміру складала від 0,5 годин до 2 годин.

Для покращення якості вимірів зразків з низькими рівнями гамма-активності розроблено та використано систему стабілізації та пониження фону ССПФ [1]. Було здійснено підготовку зразків, гамма-спектрометрію зразків, пошук аналітичних ліній та ідентифікацію радіоактивних нуклідів, визначення їх гамма-активностей.

**2.3. Додаткова обробка даних.** Окрім алгоритмів обробки експериментальних апаратурних гамма-спектрів що входять в пакет програмного забезпечення SBS-40, нами була здійснена додаткова обробка даних [2, 3]. Так, кожен із 16 зразків крові представлений 20 – 40 експериментальними апаратурними гамма-спектрами, що дозволяє використати техніку бутстреп-методів пониження статистичної похибки вимірів.

Для збільшення надійності виділення слабких ліній в апаратурних гамма-спектрах використано Фур'є- та Вейвлет-фільтрацію сигналів.

**2.4. Похибки.** Похибки склалися в основному з випадкових похибок, спричинених пуасонівським радіоактивним розпадом. Для слабоактивних по своїй природі та невеликих по масі зразків крові вони могли бути значними і сягати 40%. Засобом пониження, як вказано, було використання комбінованого варіанту бутстреп-методики, який включає повторні виміри. Основним джерелом систематичних похибок була гамма-активність фону – довкілля детектора (захисту, повітря, тощо).

Окрім використання системи стабілізації та пониження фону ССПФ, яка суттєво понижує та стабілізує фон безпосередньо біля зразка, здійснювались, в разі потреби, повторні серії вимірів. Окрім цього була використана техніка фітінгу [1], яка дозволяє враховувати вклад фонові активності в активність зразка. Вказані засоби дозволяли понизити рівень похибок до рівня  $\leq 10\%$ , який на даному етапі слід вважати задовільним.

### 3. Результати експерименту

Експериментально встановлено, що на даний час (25 років після аварії) список нуклідів, ідентифікованих в зразках, складається з:

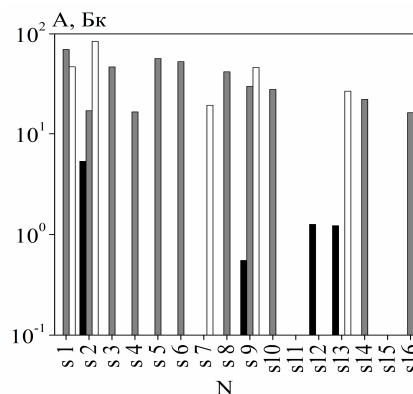
- в основному з окремих нуклідів радіоактивних рядів (сімейств)  $^{232}\text{Th}$ ,  $^{235}\text{U}$ ,  $^{238}\text{U}$ ; також  $^{137}\text{Cs}$ .
- епізодично довгоживучих уламків поділу, зокрема  $^{134}\text{Cs}$ ,  $^{152}\text{Eu}$ ,  $^{154}\text{Eu}$ ,  $^{110\text{m}}\text{Ag}$ , а також  $^{22}\text{Na}$ ,  $^{60}\text{Co}$ ,  $^{40}\text{K}$ ,  $^{239}\text{Pu}$ ,  $^{241}\text{Pu}$ ,  $^{237}\text{U}$ .

**3.1. Нуклідні спектри.** У роботі ми приводимо частину основних даних у вигляді нуклідних спектрів активностей нуклідів – членів рядів  $^{232}\text{Th}$ ,  $^{235}\text{U}$ ,  $^{238}\text{U}$  (рис. 1 – 4). Таке представлення, на наш погляд, дозволяє у компактній формі здійснювати порівняльний аналіз.

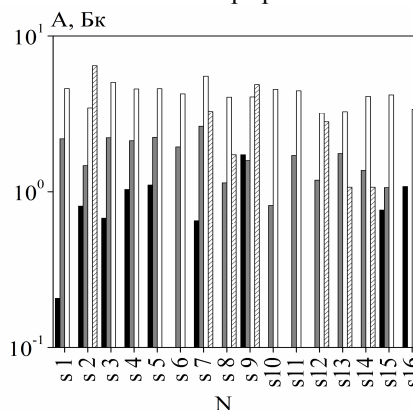
**3.2. Аналіз отриманих результатів.**  
**Висновки.** Позаяк у роботі ми привели в графічному чи табличному виді не всі дані, тому можемо говорити лише про якісні висновки. Наші висновки узгоджуються з міркуваннями, приведеними у Вступі. Ми реєструємо гамма-активність нуклідів – членів рядів  $^{232}\text{Th}$ ,  $^{235}\text{U}$ ,  $^{238}\text{U}$ ,  $^{235}\text{U}$ ,  $^{238}\text{U}$ , як материнські нукліди рядів, є основним компонентом ядерного палива, яке було розсіяно в атмосфері Землі внаслідок потужної пожежі (горіння графіту) на аварійному блоці ЧАЕС. Не дивлячись на те, що основними компонентами палива по масі були  $^{235}\text{U}$ ,  $^{238}\text{U}$ ,  $^{234}\text{U}$ , їх вклад в загальну активність та дозу був мізерним в порівнянні з активністю та дозою від уламків поділу.

Зараз, через 25 років, ситуація змінилась: вклад  $^{235}\text{U}$ ,  $^{238}\text{U}$ ,  $^{234}\text{U}$  став основним. Ми розглядаємо отримані результати як достатньо представницькі, однак кількість зразків необхідно збільшити. Тоді ми зможемо робити більш обґрунтовані

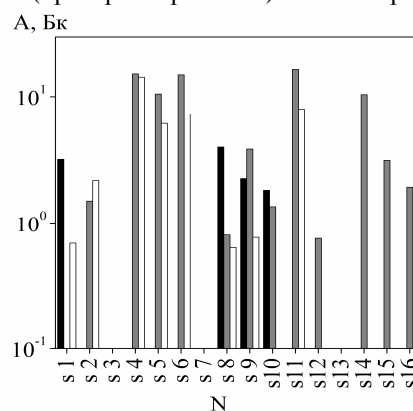
висновки про типовість чи випадковість знаходження в організмі ліквідаторів ізотопів плутонію та інших нуклідів, характерних саме для зони відчуження. Для порівняння необхідна гамма-спектрометрія зразків крові здорових людей.



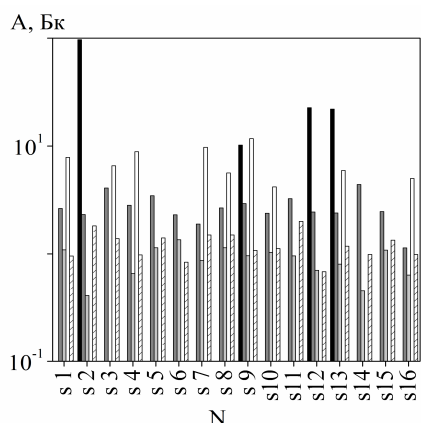
**Рис. 1.** Нуклідний спектр активностей А (Бк)  $^{234}\text{Th}$  (чорний),  $^{234\text{m}}\text{Pa}$  (сірий),  $^{230}\text{Th}$  (прозорий). N – номер зразка.



**Рис. 2.** Нуклідний спектр активностей А (Бк)  $^{226}\text{Ra}$  (чорний),  $^{214}\text{Pb}$  (сірий),  $^{214}\text{Bi}$  (прозорий),  $^{210}\text{Pb}$  (прозорий з рисками). N – номер зразка.



**Рис. 3.** Нуклідний спектр активностей А (Бк)  $^{235}\text{U}$  (чорний),  $^{231}\text{Pa}$  (сірий),  $^{231}\text{Th}$  (прозорий). N – номер зразка.



**Рис. 4.** Нуклідний спектр активностей  $A$  (Бк)  $^{232}\text{Th}$  (чорний),  $^{228}\text{Ac}$  (сірий),  $^{212}\text{Pb}$  (світло-сірий),  $^{212}\text{Bi}$  (прозорий),  $^{208}\text{Tl}$  (прозорий з рисками).  
N – номер зразка.

#### 4. Метод стандартних множин

Метод стандартних множин (МСМ), розроблений нами на основі гамма-спектрометричних методик визначення вмісту нуклідів в зразках, дозволяє отримати додаткову інформацію, зокрема часові параметри. Деякі з них можуть тлумачитись, як тривалості існування. МСМ може виявитись корисним у дослідженнях крові людини. Тому розглянемо спочатку основи методу; потім розглянемо приклади його застосування.

**4.1. Події.** Зразки, які ми досліджуємо, є представниками середовищ та процесів, що там відбуваються. Склад та вміст нуклідів в зразку є предметним об'єктом дослідження методик ядерної гамма-спектрометрії, з якими ми працюємо.

Тут ми розглядаємо тільки нукліди – члени рядів  $^{232}\text{Th}$ ,  $^{235}\text{U}$ ,  $^{238}\text{U}$ .

Нукліди з різних рядів ніяк не пов'язані між собою, тому ми розглядаємо кожен ряд незалежно від іншого ряду.

Вважаємо, що зміна у зразку внаслідок того чи іншого впливу на нього і як представника певного середовища та/або процесу – призводить до зміни його нуклідного складу. Зареєстрований факт зміни нуклідного складу зразка будемо називати *подією* [5].

**4.2. Впорядковані множини нуклідів.** Особливістю нуклідів рядів  $^{232}\text{Th}$  (і відповідно  $^{235}\text{U}$ ,  $^{238}\text{U}$ ) є те, що їх множина є впорядкованою множиною – системою, бо

має емерджентну властивість – всі нукліди одного ряду генетично-пов'язані взаємним ядерним перетворенням (утворенням / розпадом). Генетичний зв'язок робить множину нуклідів системою.

Множини нуклідів у вимірних зразках є резон назвати *експериментальними множинами*.

Відповідно, кількісною характеристикою цих експериментальних множин є *експериментальні нуклідні спектри (ЕНС)* їх активностей  $A$  – впорядковані послідовності експериментальних значень активностей  $A$  нуклідів рядів.

**4.3. Утворення стандартних множин.** Ми будемо працювати з активностями  $A$ ; кількість ядер  $N = A / \lambda$ , де  $\lambda$  – стала розпаду.

До події активність  $A_n(T)$  кожного  $n$ -го нукліда ряду в експериментальному нуклідному спектрі можна представити узагальненим для випадку розгалужених ланцюгів виразом – розв'язком системи диференціальних рівнянь Батемана – Рубінсона [8, 9]:

$$A_{ne}(T) = A_{10} \cdot \sum_j \Pi_j b_j \sum_i C_i e^{\lambda_i T} \quad (1),$$

де  $A_{10}$  – початкові значення активності;  $b_i$  – коефіцієнти розгалуження (які ми назвемо «внутрішніми» бренчінгами  $i$ , значення яких є ядерними константами);  $b_i \leq 1$ ;  $C_i$  – коефіцієнти, що залежать від  $\lambda$ .

Сукупність всіх умов та розв'язків (1) назвемо для зручності РБР1. Множину нуклідів ряду, що задовольняє РБР1, ми називаємо *стандартною множиною ряду (стандартною множиною)*.

**4.4. Утворення нестандартних множин.** Можна показати, що внаслідок елементарної події активність  $A_n(T)$  кожного  $n$ -го нукліда ряду в експериментальному нуклідному спектрі зразка можна представити сумою *одноіменних* активностей [8]:

$$A_n(T) = A_{ne}(T_e) + \sum_e K_e \cdot A_{ne}(T_e) \quad (2),$$

де  $K_e$  – «зовнішній» бренчінг (коефіцієнт розгалуження, який задається (визначається) зовнішніми факторами, зокрема способом впливу на зразок;  $0 \leq K_e \leq 1$ ).

Перший доданок  $A_{ne}(T_e)$  у сумі (2) – це активність  $n$ -го нукліда ряду  $^{232}\text{Th}$  (відповідно для  $^{235}\text{U}$ ,  $^{238}\text{U}$ ), що описується (1) і тому цей нуклід є членом стандартної

множини. Цей доданок можна також назвати стандартною частиною суми (2).

Другий доданок в сумі (1) – це сума активностей ядер  $K_e \cdot A_{ne}(T_e)$  одноіменних нуклідів нових (коротких) рядів, що могли утворитись внаслідок події. Напр., активність  $^{230}\text{Th}$  = активність  $^{230}\text{Th}$  ряду  $^{238}\text{U}$  + активність  $^{230}\text{Th}$  ряду  $^{230}\text{Th}$ . Кожен із членів суми активностей – вираз, подібний виразові (1), бо є виразом для розрахунку стандартної множини.

Таким чином, *нестандартні множини* – це множини нуклідів ряду, активність яких описується виразом (2).

4.5. *Метрологія методу.* Маючи експериментальну множину нуклідів, ми знаходимо в ньому стандартні та нестандартні множини. Знайшовши їх та, визначивши відповідні нуклідні спектри, що отримуються на основі розрахунків (1), і є, як видно, часовими залежностями активностей  $A_{M \text{ ГАН}}(T_e)$ . Для кожного нукліда ряду – ми можемо, в принципі, ці множини поміряти. Наша впевненість ґрунтується, зокрема, на незмінності закону радіоактивного розпаду/утворення ядер, де б ми його не використовували: в моделюванні, чи в зразкові.

Кількісною характеристикою стандартних множин будуть *модельні нуклідні спектри (МНС)* активностей  $A$ . Модельні нуклідні спектри отримуються на основі розрахунків (1).

Кількісною характеристикою стандартних множин, як частини експериментальних множин, є експериментальні нуклідні спектри активностей. Таким чином, ми стандартні множини можемо:

- визначити експериментально, визначивши їх експериментальний нуклідний спектр;
- розрахувати, використавши (1).

Цей факт є основою для можливості вимірювання, бо є виконанням однієї із засад метрології – аксіоми однорідності величини та її міри (стандарта). Тому наше вимірювання може полягати в порівнянні двох однорідних величин: експериментального нуклідного спектра (стандартної чи нестандартної множини) з модельними нуклідним спектром, який повинен виконувати функцію стандарта.

#### 4.6. Таблиця стандартів.

Розрахувавши значення активностей в (1) для достатньо великої кількості точок часу  $T_e$ , ми можемо отримати часові залежності модельних нуклідних спектрів для всіх нуклідів – рядів сімейств  $^{232}\text{Th}$ ,  $^{235}\text{U}$ ,  $^{238}\text{U}$ . Часові залежності для цих сімейств приведені на рис. 5-7.

Отримавши, таким чином, таблицю модельних значень активностей, ми, здійснивши нескладну процедуру прив'язки до експериментального нуклідного спектра, отримуємо таблицю «модельно-експериментальних» значень активностей  $A$ , яку назовемо таблицею стандартів  $\{\text{МНС } A(T_e)\}$ .

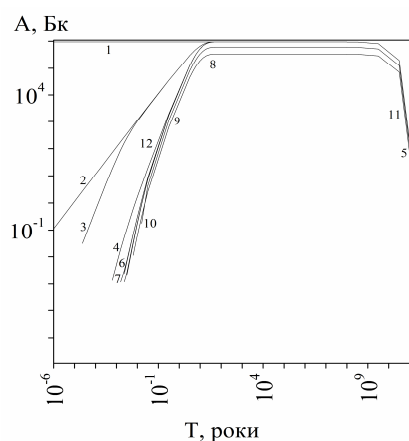


Рис. 5. Часові залежності активностей стандартної множини  $^{232}\text{Th}$  (1 –  $^{232}\text{Th}$ , 2 –  $^{228}\text{Ra}$ , 4 –  $^{228}\text{Ac}$ , 5 –  $^{228}\text{Th}$ , 6 –  $^{224}\text{Ra}$ , 7 –  $^{220}\text{Rn}$ , 8 –  $^{216}\text{Po}$ , 9 –  $^{212}\text{Pb}$ , 10 –  $^{212}\text{Bi}$ , 11 –  $^{212}\text{Po}$ , 12 –  $^{208}\text{Tl}$ )

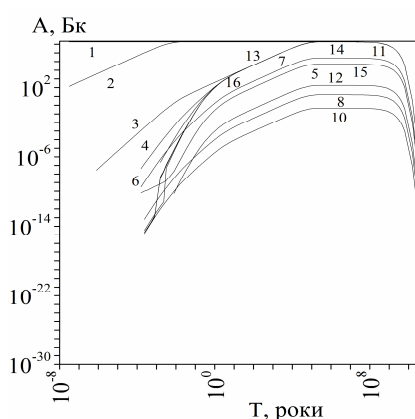
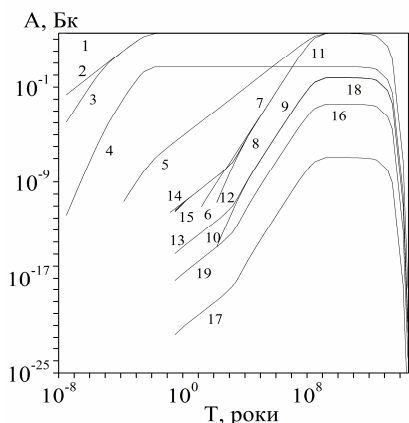


Рис. 6. Часові залежності активностей стандартної множини  $^{235}\text{U}$  (1 –  $^{235}\text{U}$ , 2 –  $^{231}\text{Th}$ , 3 –  $^{231}\text{Pa}$ , 4 –  $^{227}\text{Ac}$ , 5 –  $^{223}\text{Fr}$ , 6 –  $^{227}\text{Th}$ , 7 –  $^{223}\text{Ra}$ , 8 –  $^{219}\text{Rn}$ , 9 –  $^{215}\text{Po}$ , 10 –  $^{211}\text{Pb}$ , 11 –  $^{211}\text{Bi}$ , 12 –  $^{207}\text{Tl}$ , 13 –  $^{219}\text{At}$ , 14 –  $^{215}\text{Bi}$ , 15 –  $^{215}\text{At}$ , 16 –  $^{211}\text{Po}$ )



**Рис. 7.** Часові залежності активностей стандартної множини  $^{238}\text{U}$  (1 –  $^{238}\text{U}$ , 2 –  $^{234}\text{Th}$ , 3 –  $^{234\text{m}}\text{Pa}$ , 4 –  $^{234}\text{Pa}$ , 5 –  $^{234}\text{U}$ , 6 –  $^{214}\text{Po}$ , 7 –  $^{210}\text{Pb}$ , 8 –  $^{210}\text{Bi}$ , 9 –  $^{230}\text{Th}$ , 10 –  $^{226}\text{Ra}$ , 11 –  $^{222}\text{Rn}$ , 12 –  $^{218}\text{Po}$ , 13 –  $^{214}\text{Pb}$ , 14 –  $^{214}\text{Bi}$ , 15 –  $^{218}\text{At}$ , 16 –  $^{210}\text{Tl}$ , 17 –  $^{206}\text{Hg}$ , 18 –  $^{210}\text{Po}$ , 19 –  $^{206}\text{Tl}$ ).

Отриману таблицю, розраховану з певним кроком дискретизації значень  $T_e$ , можна, в разі потреби, деталізувати, розраховуючи нові рядки – значення стандартів МЕНС  $A(T_e)$  для нових значень  $T_e$ .

Можна сказати, що отримана нами таблиця стандартів  $\{\text{МЕНС } A(T_e)\}$  – це таблиця модельних часових еволюційних залежностей  $A_{\text{МЕГАН}}(T_e)$ , нормована («прив'язана») до конкретних експериментальних умов. Вкажемо, що таблиці модельних часових еволюційних залежностей  $A_{\text{МЕГАН}}(T_e)$  отримані на основі розрахунків та умов розрахунків РБР1 з використанням рівняння (1). Стартова кількість ядер материнських радіонуклідів ( $^{232}\text{Th}$ ,  $^{235}\text{U}$ ,  $^{238}\text{U}$ ) =  $6,022 \cdot 10^{23}$  ядер (1 моль – число Авогадро).

**4.7. Вимірювання стандартних множин.** Кожен рядок отриманої нами таблиці стандартів  $\{\text{МЕНС } A(T_e)\}$  є, як видно, стандартом – модельним нуклідним спектром активностей нуклідів стандартної множини, визначений для моменту часу  $T_e$ . Тому, знайшовши в таблиці стандартів рядок, рівний по значенню із експериментальним нуклідним спектром, ми здійснили його вимірювання.

**4.8. Тривалість існування стандартної множини.** Окремим та цікавим результатом вимірювання є час  $T_e$ . Більш точно: експериментальному нуклідному спектру ставиться у відповідність часова ордината  $T_e$

стандарту МЕНС  $A(T_e)$ , з яким цей спектр порівнюється. Ми можемо тлумачити час  $T_e$  як тривалість існування стандартної множини, для якої виконувалось порівняння двох спектрів. Ця стандартна множина могла з'явитись в результаті події.

**4.9. Невизначеності.** Активності нуклідів, що складають експериментальний нуклідний спектр – експериментальні величини, тобто визначені з певною похибкою. Сукупність цих похибок впливає на вимір цього спектра в таблиці стандартів.

Крім цих, випадкових, похибок слід вважати на наявність і систематичних похибок різних типів, зокрема інтерференцій.

Тому для активності  $A_I(T_m)$  нукліда слід записати нерівності:

$$A_K(T_{emin}) \leq A_I(T_m) \leq A_L(T_{emax}) \quad (3)$$

$A_K(T_{emin})$  належить стандарту МЕНС  $A_K(T_{emin})$ , який обмежує  $A_I(T_m)$  «знизу»;

$A_L(T_{emax})$  належить стандарту МЕНС  $A_L(T_{emax})$ , який обмежує  $A_I(T_m)$  «зверху»;

$A_I(T_m)$  належить експериментальному нуклідному спектру ЕНС  $A_I(T_m)$ .

**4.10. Вимірювання нестандартних множин.** Ми вказали на причину появи нестандартних множин в зразках. Коли здійснюється вимір, невідомо, з якою множиною мають справу – стандартною, що представлена виразом (1) чи нестандартною, яка представлена виразом (2). Тому правильним буде використання виразу (3) для визначення активності  $A_I(T_m)$  нукліда, незалежно належить ця активність нукліду стандартної чи нестандартної множини.

**4.11. Визначення часового проміжку  $\Delta T$ .** Вибравши стандарт МЕНС  $A(T_{emin})$  та стандарт МЕНС  $A(T_{emax})$  із множини всіх їх можливих значень залежностей (тобто із таблиці стандартів  $\{\text{МЕНС } A(T_e)\}$ ), ми вибрали значення часів  $T_{emin}$ ,  $T_{emax}$ . Ці значення можна інтерпретувати як тривалості існування стандартної множини.

Маючи значення  $T_{emin}$ ,  $T_{emax}$  можна визначити часовий проміжок  $\Delta T$ :

$$\Delta T = T_{emax} - T_{emin} \quad (4)$$

Значення  $T_{emin}$ ,  $T_{emax}$  та часовий проміжок (4) вибирають, беручи до уваги значення похибок (невизначеностей). Отже, замість одного точного значення  $T_e$ , ми повинні працювати з проміжком  $\Delta T$ , який це значення  $T_e$  включає.

### 5. Застосування методу стандартних множин в дослідженні радіонуклідного складу зразків крові

Відомо, що кров з точки зору нуклідного складу є динамічним об'єктом; тільки з певною обережністю можна казати про її фіксований нуклідний склад («консерватизм складу»), зокрема про існування стандартних множин (впорядкованих множин нуклідів – членів рядів  $^{232}\text{Th}$ ,  $^{235}\text{U}$ ,  $^{238}\text{U}$ ). Разом з тим гамма-спектрометрія крові підтверджує вміст в ній радіоактивних нуклідів, які є (тривалий час) і в організмі людини. Таким чином, радіонуклідний склад крові є інформативним об'єктом дослідження, бо корелює з вмістом радіонуклідів в організмі. Тому ми коротко розглянемо можливості методу стандартних множин в цій предметній області.

5.1. *Аналіз експериментальних нуклідних спектрів.* Представниками стандартних чи нестандартних множин є їх нуклідні спектри, що складають експериментальні нуклідні спектри активностей. Таким чином, мова йтиме про аналіз експериментальних нуклідних спектрів ЕНС. На рис. 8 – 10 наведені експериментальні нуклідні спектри активностей ЕНС зразка s9.

5.2. *Оцінка нестандартності ЕНС.* Визначатимемо експериментальні множини  $^{232}\text{Th}$  та  $^{238}\text{U}$ , бо вони виявлені та зареєстровані в зразку крові. Почнемо з експериментальної множини  $^{232}\text{Th}$ . Перевірка умови (3) графічно виглядає у побудові рисунків: стандартів МЕНС  $A(T_{emin})$  та МЕНС  $A_L(T_{emax})$ , знайдених в таблиці стандартів  $\{ \text{МЕНС } A(T_e) \}$ , які ми будемо зображати на рисунках світлими прямокутниками; чорними прямокутниками ми будемо зображати експериментальні нуклідні спектри.

Аналіз рис. 8 дозволяє вважати, що експериментальні множини  $^{232}\text{Th}$  – дійсно стандартні, тому що не виявлено аномально великих (або навпаки, аномально низьких) значень активностей в їх експериментальних нуклідних спектрах.

Для експериментальної множини  $^{238}\text{U}$  (рис. 9) ситуація дещо інша: аномально виділяється нуклід  $^{230}\text{Th}$  в її експериментальному нуклідному спектрі. Це означає, що експериментальна множина  $^{238}\text{U}$

– нестандартна, тому ми повинні здійснити декомпозицію: віднімання стандартної множини  $^{238}\text{U}$  від експериментальної множини  $^{238}\text{U}$ , і цим отримати (виділити) стандартну множину  $^{230}\text{Th}$ . Результати декомпозиції приведені на рис. 10.

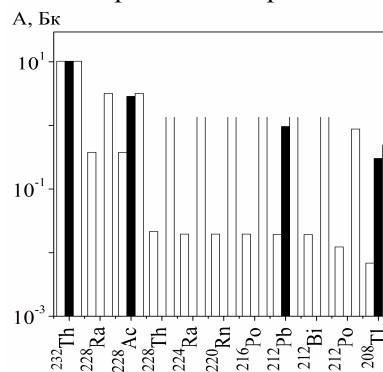


Рис. 8. Експериментальний нуклідний спектр А активностей зразка s9 (виділено чорним) та МНС А стандартів множини  $^{232}\text{Th}$  (світлі прямокутники).  $\Delta T$  (роки) = 0,3 – 3.

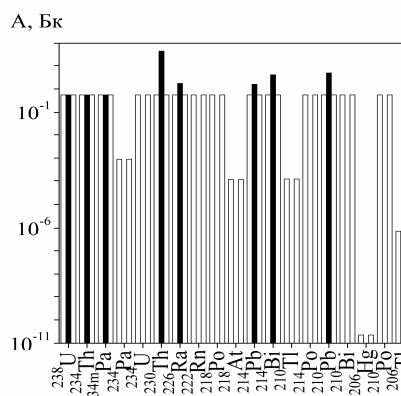


Рис. 9. Експериментальний нуклідний спектр А активностей зразка s9 (виділено чорним) та МНС А стандартів множини  $^{238}\text{U}$  (світлі прямокутники).

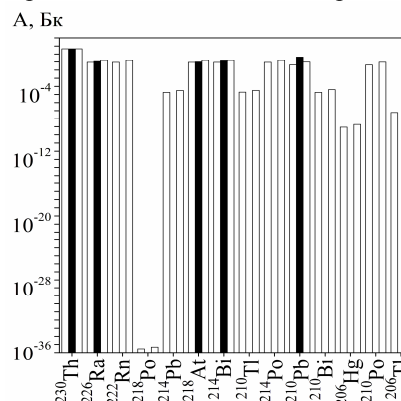


Рис. 10. Експериментальний нуклідний спектр А активностей зразка s9 (виділено чорним) після декомпозиції (віднімання) та МНС А стандартів множини  $^{230}\text{Th}$  (світлі прямокутники).

$\Delta T$  (роки) = 63 – 79.

**Таблиця.** Результати визначення часового проміжку  $\Delta T$  зразків крові.

	$\Delta T_{232\text{Th}}$ , роки	похиб. $\delta_{\Delta A}$ , %	$\Delta T_{230\text{Th}}$ , роки	похиб. $\delta_{\Delta A}$ , %
s2	0,031-3,17	2	47 – 63	7
s9	0,31-3,17	2	63 – 79	6
s12	0,31-3,17	4	-	-
s13	0,31-3,17	4	79-110	3

**Висновки**

Кінцевим результатом вимірювання стандартних множин є отримання часових проміжків  $\Delta T$ . Їх значення приведені у підписах під рисунками, та у таблиці. Відносні похибки  $\delta_{\Delta A}$  визначення часового проміжку  $\Delta T$  розраховані у припущенні, що статистика реєстрованих сигналів – це пуасонівська статистика, та що відносна похибка визначення активностей рівна 10%.

Значення часових проміжків  $\Delta T$  стандартної множини  $^{232}\text{Th}$  співрозмірні із віком зразків, і свідчать, що ця множина «молода». Часові проміжки  $\Delta T$  стандартної множини  $^{230}\text{Th}$  співрозмірні із віком ліквідаторів.

Ми не будемо інтерпретувати отримані значення, які нам здаються коректними та цікавими, однак можуть мати і інше тлумачення. Справа також і в тому, що ми вперше розглядаємо величину «тривалість існування стандартної величини», причому в такому об'єкті, як кров. Тільки збільшення експериментальних даних дозволить нам отримати більшу впевненість в результатах. Разом з тим, часовий проміжок  $\Delta T$ , як часовий параметр, на наш погляд, надає результатам гамма-спектрометрії зразків крові нове інформаційне «звучання».

Стаття надійшла до редакції: 11.09.2013

## GAMMA-SPECTROMETRY OF THE HUMAN BLOOD IN THE POST-CHERNOBYL PERIOD. DETERMINATION OF TIME

**Stec M.V., Pop O.M., Siksay L.T., Sirchak E.S.**

The results of gamma spectrometry blood 16 liquidators of the Chernobyl accident are given. The concludes about certain changes for 25 years in the list of gamma-active nuclides, registered in the blood samples. The short description is given and considers the possibility of a new method – the standard sets method for determining the age of the standard sets (ordered sets of nuclides – members of the series  $^{232}\text{Th}$ ,  $^{235}\text{U}$  and  $^{238}\text{U}$ ). The continued existence of standard sets in blood samples is an interesting experimental result.

**Список використаних джерел**

1. Юркуц Ю.Ю., Поп О.М., Стець М.В., Маслюк В.Т. Система стабілізації та пониження фону в гамма-спектрометричному комплексі // Науковий вісник Ужгородського університету. Серія Фізика. – 2011. – Вип. 30. – С. 188-196.
2. Поп О.М. Використання Фур'є- та Вейвлет-фільтрації при обробці слабих піків в апаратурних гамма-спектрах // Тези доповідей Міжнародної наукової конференції молодих вчених і аспірантів «ІЕФ'2013». 20-23 травня 2013 р. Ужгород. – 2013 – С. 173.
3. Поп О.М. Використання бутстреп-методів у деяких задачах ядерної гамма-спектрометрії // Тези доповідей Міжнародної наукової конференції молодих вчених і аспірантів «ІЕФ'2013». 20-23 травня 2013 р. Ужгород. – 2013 – С. 174.
4. Поп О.М., Стець М.В. Статистичні характеристики термічного впливу на вміст нуклідів рядів торію-232, урану-238 та К-40 в пробах отримання кераміки // Науковий вісник Ужгородського університету. Серія Хімія. – 2010. – Вип. 24. – С. 197-203.
5. Вагнер Г.А. Научные методы датирования в геологии, археологии и истории. – М.: ТЕХНОСФЕРА, 2006. – 576 с.
6. Murrell M. Uranium-series geochemistry: by B. Bourdon, G. M. Henderson, C. C. Lundstrom and S. P. Turner (eds.) // Mineralogical Society of America Reviews in Mineralogy and Geochemistry. – 2003. – Vol. 52 – 656 p.
7. Маслов И.А., Лукницкий В.А. Справочник по нейтронному активационному анализу. – 1971. – 212 с.
8. Поп О.М., Стець М.В. Моделі еволюції множин радіоактивних нуклідів рядів торію 232, урану 235, урану 238 та їх застосування // Доповіді Національної академії наук України. – 2013. – № 4. – С. 65-71.